

UNIVERSIDADE FEDERAL DE SANTA CATARINA
DISCIPLINA DE INTELIGÊNCIA ARTIFICIAL

Análise Comparativa de Algoritmos de Busca no Problema do PacMan

Professor = Jomi F. Hübner
Aluno = Alexandro Gehlen,
Yeremie Pando

Florianópolis – SC
Abril, 2025

1. Introdução

Este trabalho tem como objetivo implementar e comparar diferentes algoritmos de busca aplicados a um cenário inspirado no jogo PacMan. O agente atua em uma grade modelada como uma matriz em todos os cenários, partindo de uma posição inicial fixa (0,0) e devendo coletar comidas posicionadas em diferentes pontos do mapa, movimentando-se com custo 1 por espaços livres e evitando obstáculos representados por paredes. Foram utilizados três tipos principais de cenário: um com apenas uma comida, outro com várias comidas espalhadas e um terceiro com obstáculos, exigindo que o agente contorne barreiras para atingir os objetivos. A implementação dos algoritmos de busca teve como base a estrutura apresentada no livro *Artificial Intelligence: A Modern Approach (AIMA)*, 4ª edição, de Russell e Norvig, adaptada ao problema do PacMan. Dentre os algoritmos disponíveis, foram testadas abordagens como busca em largura (BFS), aprofundamento iterativo, A*, busca gulosa (Greedy) e `best_first_search`. A análise considerou critérios como tempo de execução, custo da solução, número de ações realizadas e profundidade da solução. Dessa forma, foi possível observar como cada algoritmo se comporta em diferentes níveis de complexidade.

2. Desenvolvimento

2.1 Modelagem Pacman

Nesta etapa será explicado a modelagem e codificação do problema/desafio. No código 1 a classe `PacManProblem` herda da classe abstrata `Problem` e é responsável por modelar o ambiente em que o agente (PacMan) atua. O ambiente é representado por uma matriz bidimensional de tamanho variável (`grid_size`), contendo paredes, comidas e uma posição inicial do agente.

O estado inicial é representado como uma tupla que armazena a posição atual do agente e um conjunto imutável (`frozenset`) com as posições das comidas restantes. O método `actions` retorna as ações válidas a partir de um estado, considerando os limites da grade e a presença de paredes. Já o método `result` descreve a transição entre estados: ele calcula a nova posição após a ação e remove a comida caso o agente a tenha alcançado.

O método `is_valid_position` garante que o agente não se mova para fora da grade nem para posições ocupadas por paredes. A função `is_goal` define a condição de parada do algoritmo de busca: o problema é resolvido quando todas as comidas foram coletadas.

Além disso, a classe implementa uma heurística baseada na distância de Manhattan entre a posição atual do agente e a comida mais próxima. Essa heurística é admissível e consiste em somar as distâncias absolutas nas direções vertical e horizontal, sem considerar obstáculos.

Código 1: Modelagem do problema/desafio Pacman.

```
class PacManProblem(Problem):
    def __init__(self, initial_pos, food_positions, walls, grid_size):
        # Estado inicial: (posição do PacMan, posições das comidas restantes)
        initial_state = (initial_pos, frozenset(food_positions))
        self.walls = walls # conjunto de posições com parede
        self.grid_size = grid_size # (altura, largura)
        super().__init__(initial=initial_state, goal=None)

    def actions(self, state):
        pos, food = state
        x, y = pos
        directions = {
            'Up': (x - 1, y),
            'Down': (x + 1, y),
            'Left': (x, y - 1),
            'Right': (x, y + 1)
        }

        valid_actions = []
        for action, new_pos in directions.items():
            if self.is_valid_position(new_pos):
                valid_actions.append(action)
        return valid_actions

    def result(self, state, action):
        pos, food = state
        x, y = pos
        move = {
            'Up': (x - 1, y),
            'Down': (x + 1, y),
            'Left': (x, y - 1),
            'Right': (x, y + 1)
        }[action]
        new_pos = move
        new_food = food - {new_pos} if new_pos in food else food
        return (new_pos, new_food)

    def is_valid_position(self, pos):
        x, y = pos
        h, w = self.grid_size
```

```

        return (0 <= x < h) and (0 <= y < w) and (pos not in
self.walls)

def is_goal(self, state):
    # Objetivo: comer todas as comidas → food set vazio
    _, food = state
    return len(food) == 0

def heuristic(node):
    # Heurística: distância de Manhattan até a comida mais
próxima
    pos, food = node.state
    if not food:
        return 0
    return min(abs(pos[0] - fx) + abs(pos[1] - fy) for fx, fy
in food)

```

Os algoritmos de busca foram implementados no livro *Artificial Intelligence: A Modern Approach (AIMA)*, o restante de código foi realizando as chamadas de funções, salvando as informações e gerando os gráficos. Todo código está disponível no [Github](#).

2.2 Análise em Diferentes Cenários.

2.2.1 Cenário 1: Apenas uma comida.

No primeiro cenário, foi utilizada uma matriz representando um ambiente livre, sem obstáculos, com uma única comida posicionada no canto inferior esquerdo. O agente PacMan parte sempre da posição inicial fixa no canto superior esquerdo (0, 0) e deve percorrer o caminho até alcançar a comida, deslocando-se por espaços livres, todos com custo 1. Esse cenário tem como objetivo analisar o desempenho dos algoritmos em uma situação simples e direta, com apenas um objetivo a ser atingido e sem interferências externas, como paredes ou múltiplos alvos. Além disso, o tamanho da matriz foi progressivamente aumentado para avaliar o impacto da escala no comportamento e na eficiência dos algoritmos de busca. Na Figura 1 é possível ver que o método `iterative_deepening_search` já começa descolar dos outros métodos aumentando seu tempo até a chegada da solução `goal` (que é não ter nenhuma comida) com o aumento da matriz (tamanho 9x9).

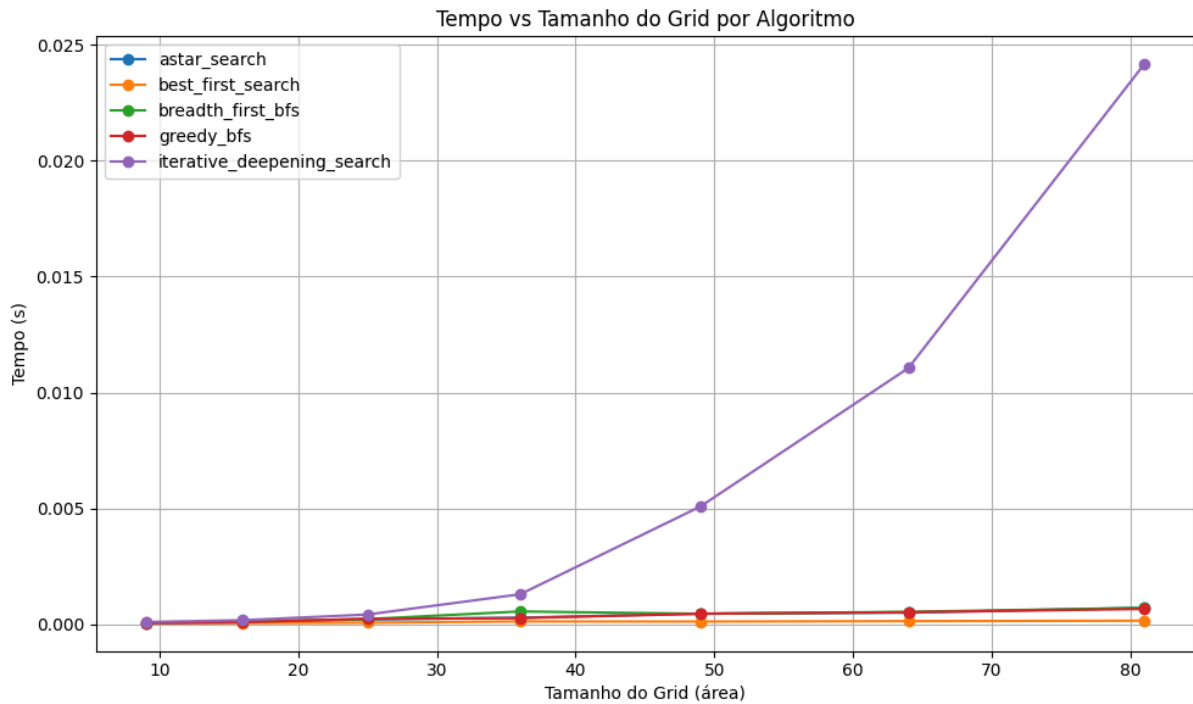


Figura 1: Tempo de execução de todos os métodos de busca em matrizes com tamanhos até 9×9 .

Devido ao aumento expressivo no tempo de execução do método `iterative_deepening_search`, esse algoritmo foi retirado do gráfico apresentado na Figura 2.

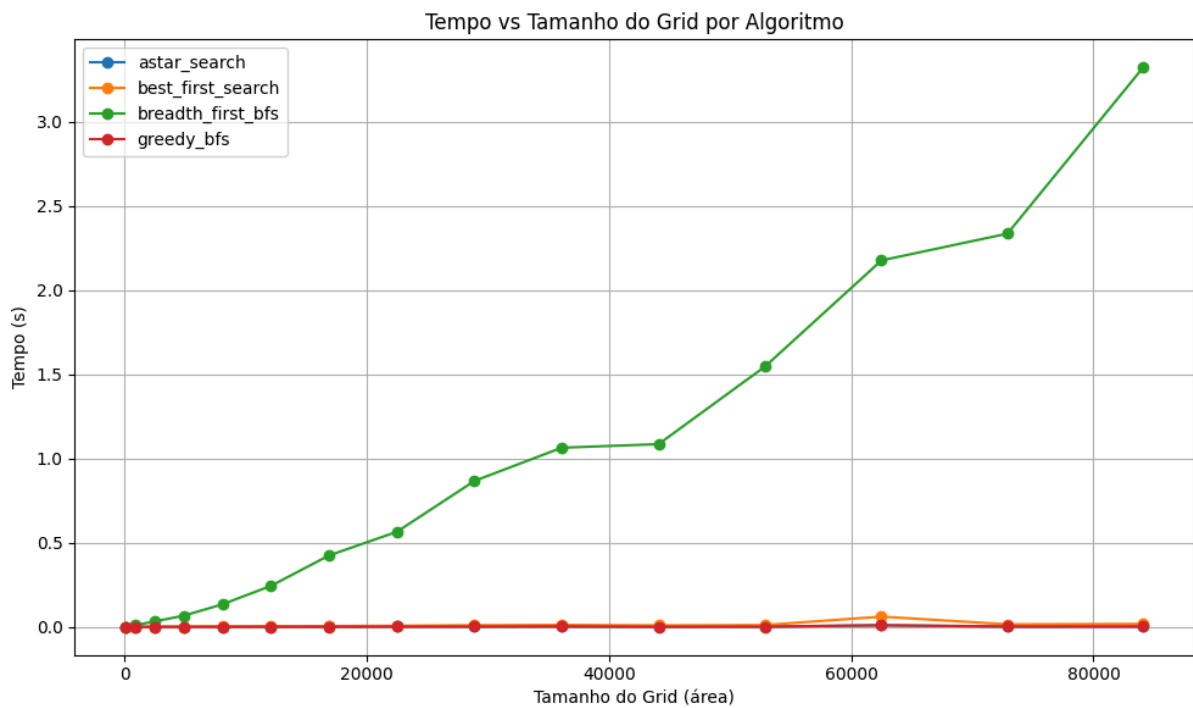


Figura 2: Tempo de execução dos quatro métodos de busca em matrizes com tamanhos crescentes até 290×290 .

No Gráfico 2, o descolamento observado corresponde ao método de busca em largura, que apresenta um aumento expressivo no tempo de execução a partir de aproximadamente uma matriz de tamanho 140×140 . Por esse motivo, esse método foi retirado da Figura 3.

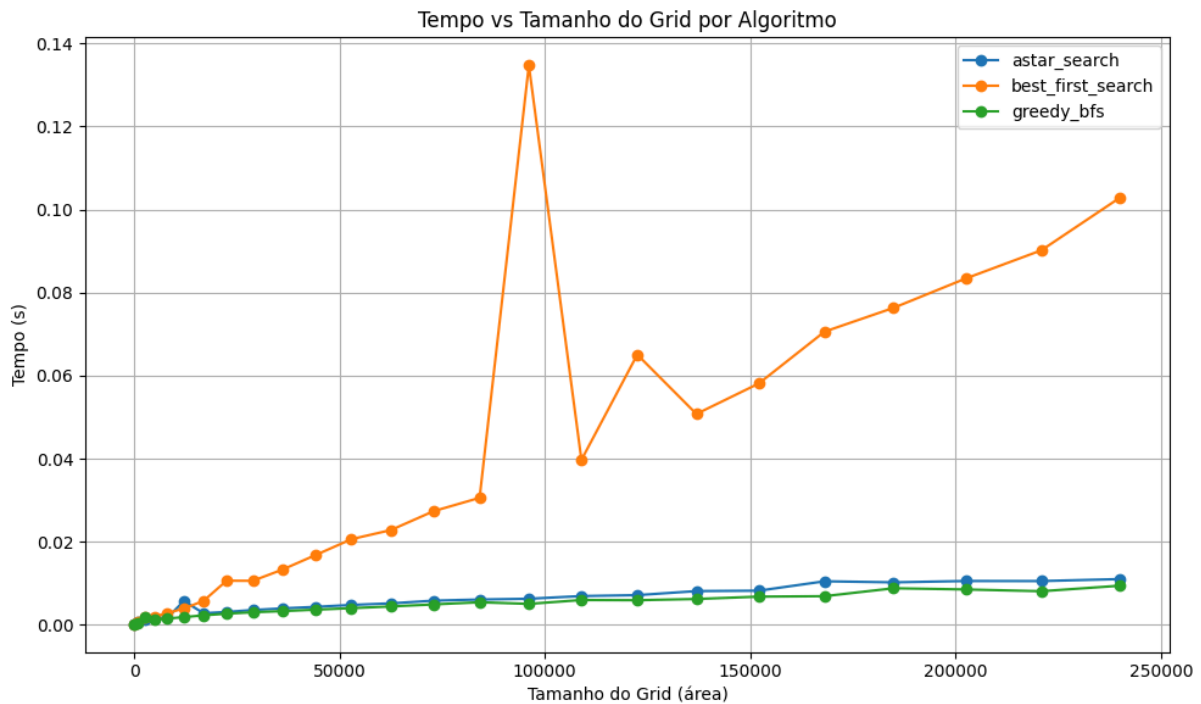


Figura 3: Tempo de execução dos 3 métodos de busca em matrizes com tamanhos crescentes até 290×290 .

Nos testes com apenas uma comida posicionada no canto oposto à posição inicial do agente, foi possível observar diferenças significativas no tempo de execução entre os algoritmos. O greedy_bfs apresentou o melhor desempenho em todos os tamanhos de grid, sendo o mais rápido por utilizar apenas a heurística para guiar a busca, mesmo sem garantia de solução ótima. O astar_search manteve tempos estáveis e baixos, equilibrando custo real e heurístico, sendo uma opção eficiente e completa. O best_first_search mostrou tempos instáveis, com picos de execução em alguns tamanhos, possivelmente devido ao comportamento da função de avaliação utilizada. Já o breadth_first_bfs teve crescimento constante no tempo com o aumento da matriz, demonstrando limitação em escalabilidade. Por fim, o iterative_deepening_search foi o mais lento, mesmo em grids menores, devido à repetição sucessiva de buscas com profundidades limitadas.

2.2.2 Cenário 2: Comida nos canto inferior esquerdo, superior direito e ponto central.

Neste cenário, diferentemente do primeiro, há mais de uma comida para o PacMan coletar. Os métodos utilizados e a expansão progressiva do grid permanecem os mesmos, permitindo observar o impacto do aumento do número de objetivos no desempenho dos algoritmos. Na Figura 4 é possível ver novamente o descolamento do método `iterative_deepening_search` e um grid de tamanho aproximado de 8x8.

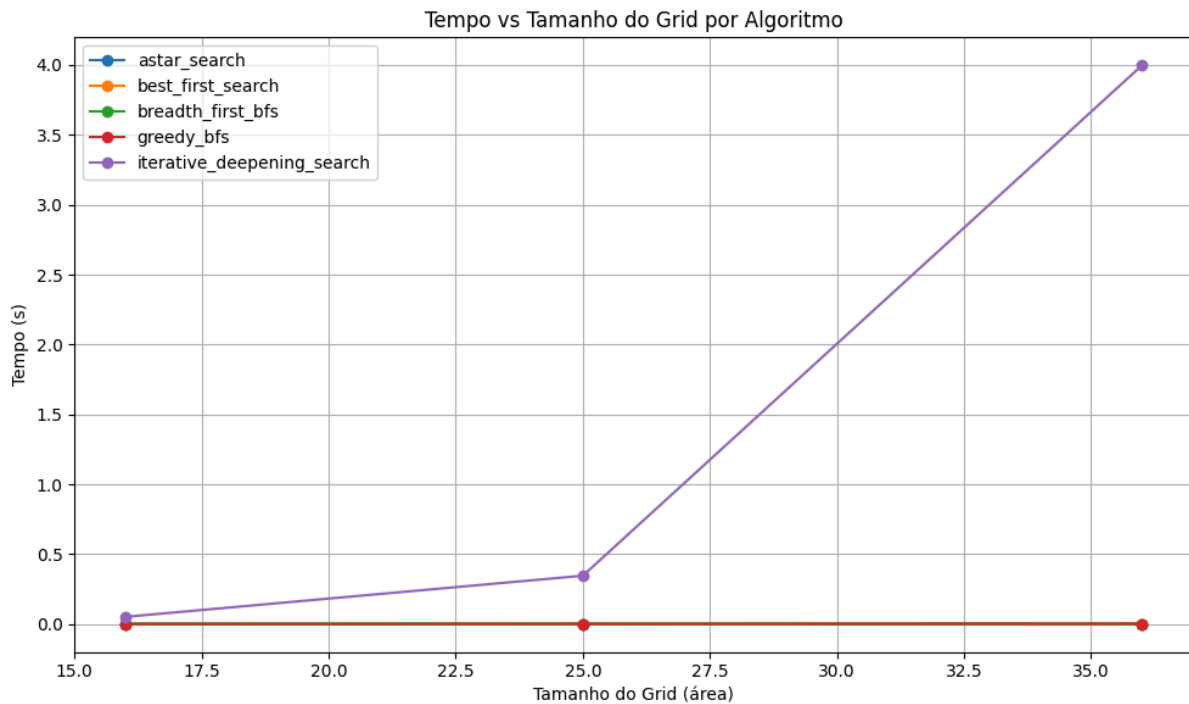


Figura 4: Tempo de execução de todos métodos de busca em matrizes com tamanhos crescentes até 8x8 com 3 comidas.

Diferente do cenário 1 começou-se ter diferentes custos para os métodos, como mostrado na Figura 5.

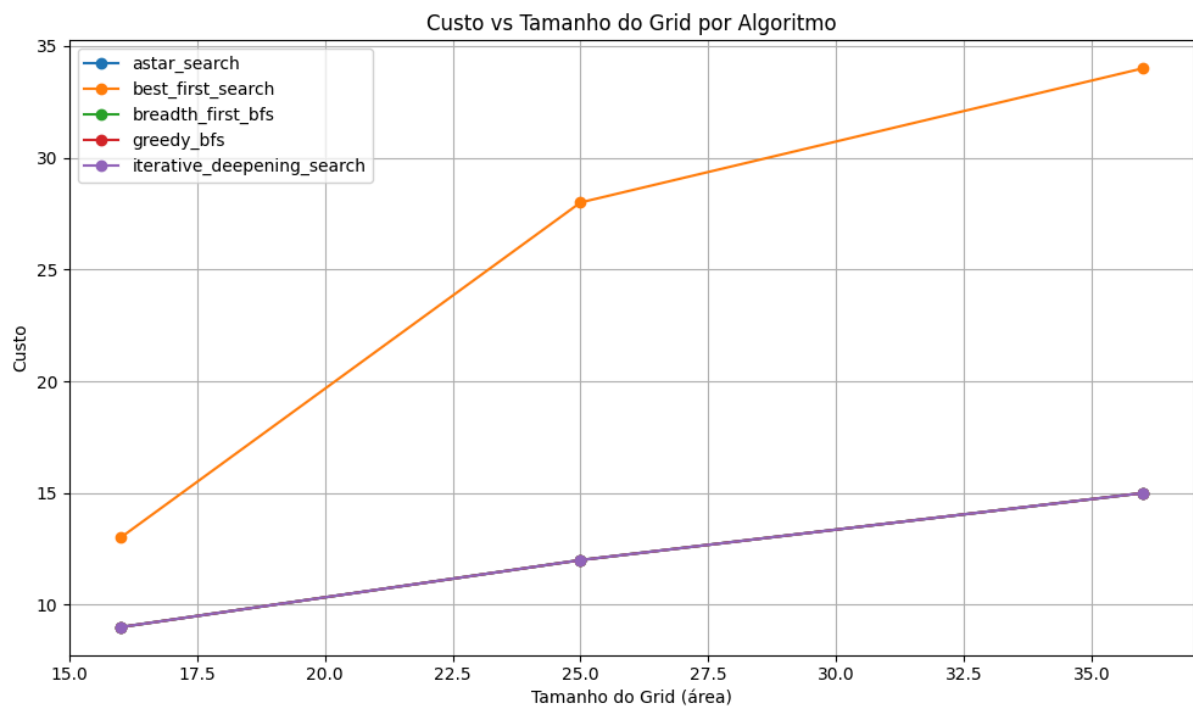


Figura 5: Custo de todos métodos de busca em matrizes com tamanhos crescentes até 8x8 com 3 comidas.

Na Figura 5, é possível ver que os algoritmos apresentaram diferenças no custo total das soluções ao lidar com várias comidas no cenário. O `best_first_search` teve um custo bem maior que os outros, o que significa que ele precisou dar mais passos para completar a tarefa. Já os demais algoritmos encontraram caminhos mais curtos e eficientes.

Na Figura 6 vou excluir o método `iterative_deepening_search` na mesma é possível ver que o método `best_first_search` aumentou o tempo para resolução do grid com um tamanho aproximado de 25x25.

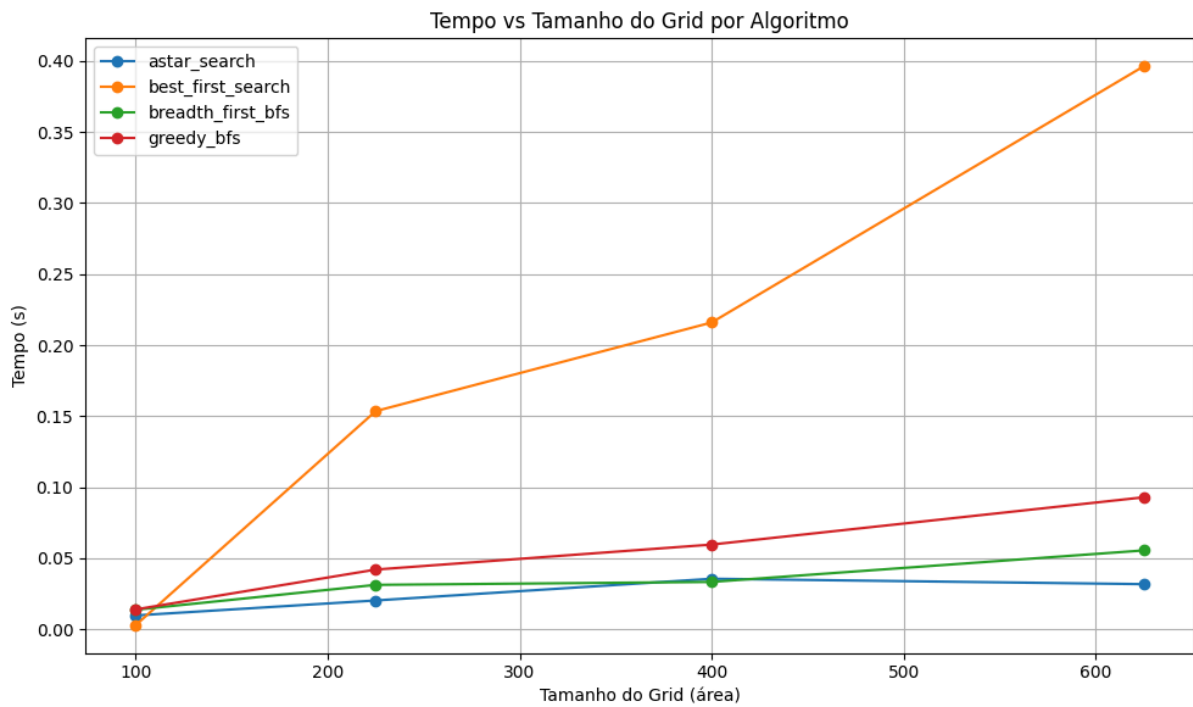


Figura 6: Tempo de execução de 4 métodos de busca em matrizes com tamanhos crescentes até 25x25 com 3 comidas.

Já na Figura 7 mostra os 3 métodos que tiveram melhor desempenho de tempo.

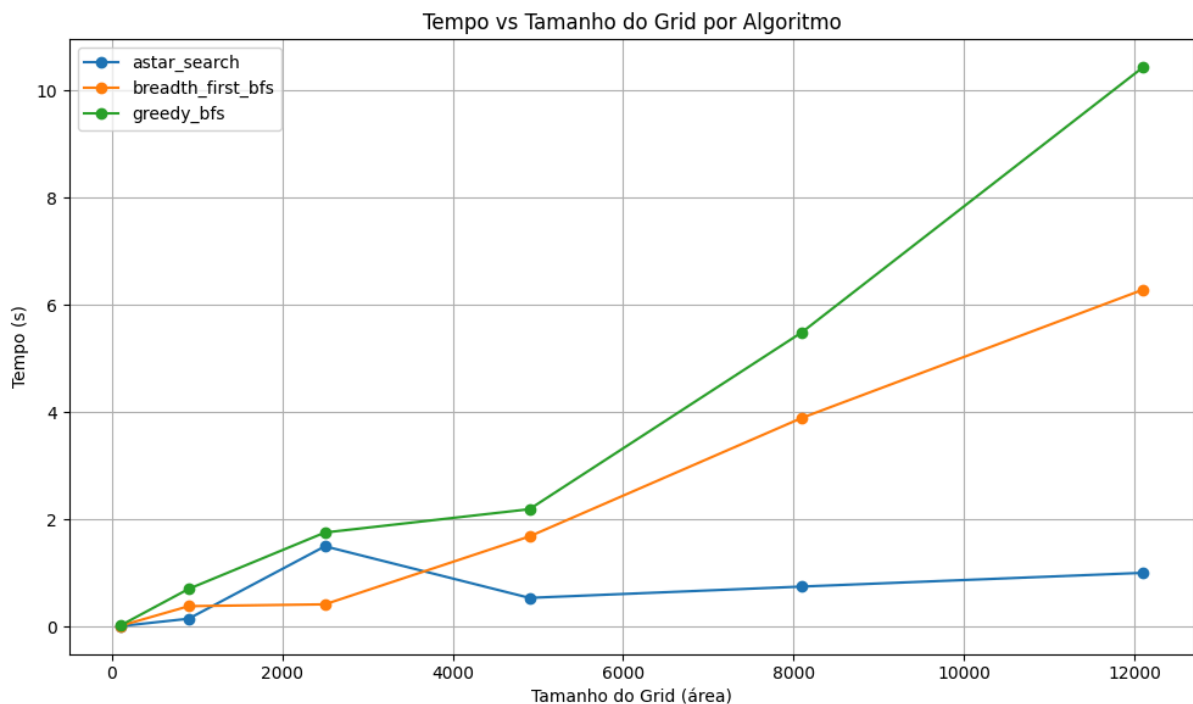


Figura 7: Tempo de execução de 3 métodos de busca em matrizes com tamanhos crescentes até 25x25 com 3 comidas.

Neste cenário com mais comidas e espalhadas diferente do cenário 1, percebeu-se maior diferença no desempenho dos algoritmos. Apesar de o algoritmo greedy_bfs apresentar um tempo de execução relativamente baixo nos grids menores, seu desempenho degrada rapidamente à medida que o tamanho da matriz cresce. O breadth_first_bfs apresenta desempenho intermediário, com um tempo de execução crescente com a expansão da matriz, ele encontra soluções com menor custo, por garantir caminhos mais curtos. Já o astar_search demonstrou o melhor equilíbrio entre tempo e qualidade da solução. Mesmo com um leve aumento no tempo à medida que o grid cresce, ele manteve-se como o método mais rápido em matrizes maiores e com o menor custo entre os algoritmos. O algoritmo iterative_deepening_search apresenta um crescimento à medida que o tamanho do grid aumenta. Isso ocorre porque ele combina a profundidade limitada com repetição crescente, resultando em exploração redundante de estados.

O best_first_search foi crescendo de forma mais acentuada à medida que o tamanho do grid aumentou. Além disso, conforme observado no gráfico de custo da Figura 5, esse método apresenta um custo consideravelmente mais alto em comparação aos demais, o que indica que pode estar tomando decisões menos eficientes, mesmo sendo mais rápido em alguns casos. Por outro lado, os algoritmos astar_search, greedy_bfs, breadth_first_bfs e iterative_deepening_search mantiveram custos mais baixos e semelhantes, sugerindo que encontraram caminhos mais curtos e eficientes para visitar todos os pontos de comida.

2.2.3 Cenário3: Comidas e obstáculos(paredes).

O terceiro cenário avalia o desempenho dos algoritmos de busca em ambientes mais complexos, contendo comidas e paredes. Nos cenários construídos, foram utilizados grids de diferentes tamanhos(5x5, 7x7, 9x9, 15x15, 29x29 e 49x49) com uma estrutura padronizada para representar desafios crescentes para o agente. Em todos eles, a posição inicial do PacMan é fixada no canto superior esquerdo do mapa, na coordenada (0, 0). As paredes foram colocadas estrategicamente ao longo das duas diagonais principais: a diagonal principal (do canto superior esquerdo ao inferior direito) e a diagonal secundária ou de retorno (do canto superior direito ao inferior esquerdo). Essa configuração cria uma barreira em forma de "X" no centro do grid, dificultando o acesso direto ao meio. As 4 comidas foram posicionadas propositalmente próximas ao ponto de interseção das diagonais exigindo que o agente encontre caminhos alternativos para alcançar o objetivo, contornando os obstáculos impostos pelas paredes dispostas nas diagonais principal e secundária.

A Figura 8 evidencia que o algoritmo `iterative_deepening_search` apresenta um crescimento expressivo no tempo de execução à medida que o tamanho do grid aumenta, tornando-se significativamente mais lento em grids maiores devido à sua natureza de repetir buscas com profundidades progressivamente maiores. Em contraste, os demais algoritmos — `astar_search`, `best_first_search`, `breadth_first_bfs` e `greedy_bfs` — mantêm tempos de execução muito baixos e praticamente constantes, mesmo com o aumento da complexidade do cenário, demonstrando maior eficiência computacional em mapas maiores.

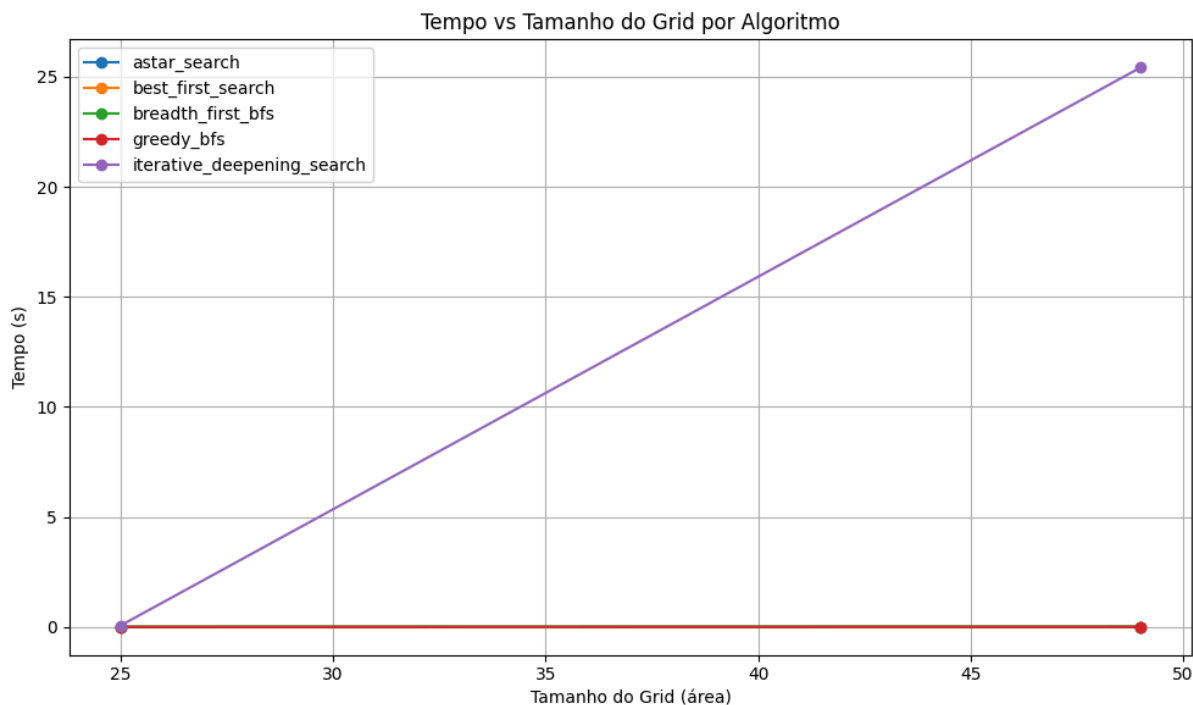


Figura 8: Tempo de execução de 5 métodos de busca em mapas 1 e 2.

A Figura 9 mostra o custo de todos os algoritmos, o `best_first_bfs`, apesar de também encontrar soluções corretas, apresenta um custo significativamente maior à medida que o grid cresce, o que sugere que ele percorre caminhos mais longos ou realiza mais repetições desnecessárias durante a busca, como, mostrado no cenário 2.

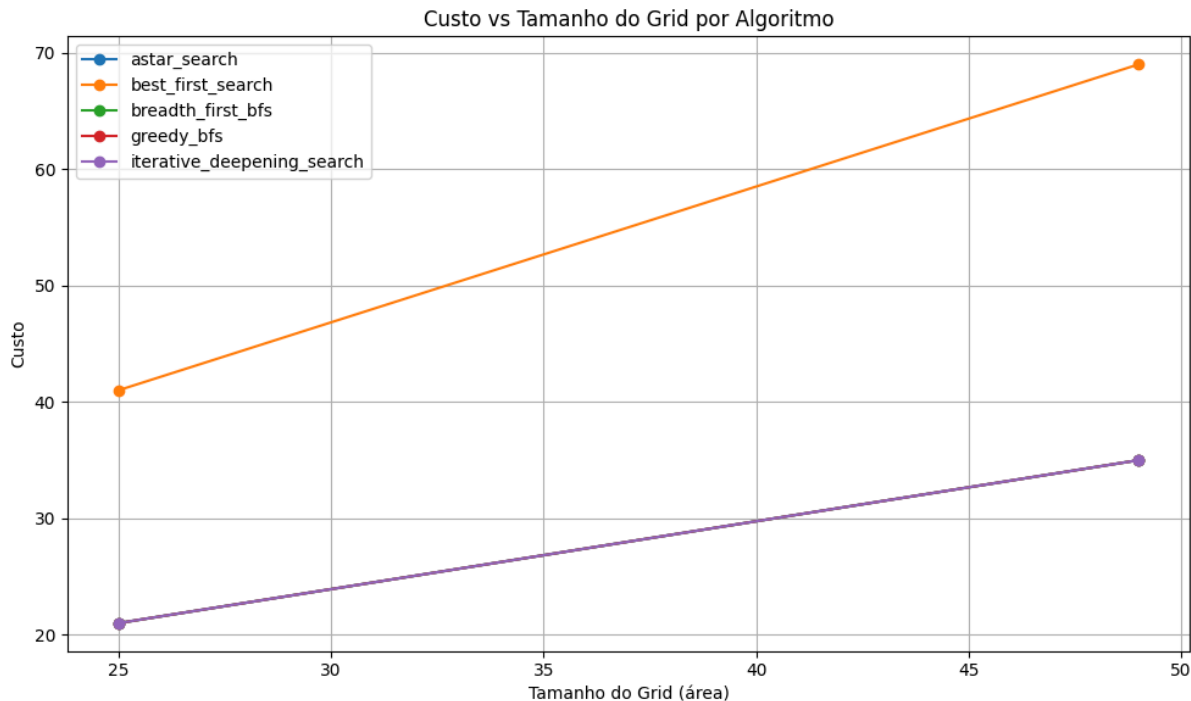


Figura 9: Custo de todos métodos de busca nos mapas 1 e 2.

Quando inserido o mapa número 3 em diante é necessário retirar o método `iterative_deepening_search` devido ao tempo de execução. A Figura 10 mostra que o algoritmo `breadth_first_bfs` apresenta o maior tempo de execução nos grids maiores, com uma curva de crescimento acentuada, indicando menor eficiência temporal à medida que o espaço de busca aumenta. O `best_first_search` também apresenta aumento significativo de tempo, embora em menor proporção. Em contraste, os algoritmos `greedy_bfs` e `astar_search` mantêm tempos consideravelmente mais baixos e com crescimento mais controlado, mesmo em ambientes maiores.

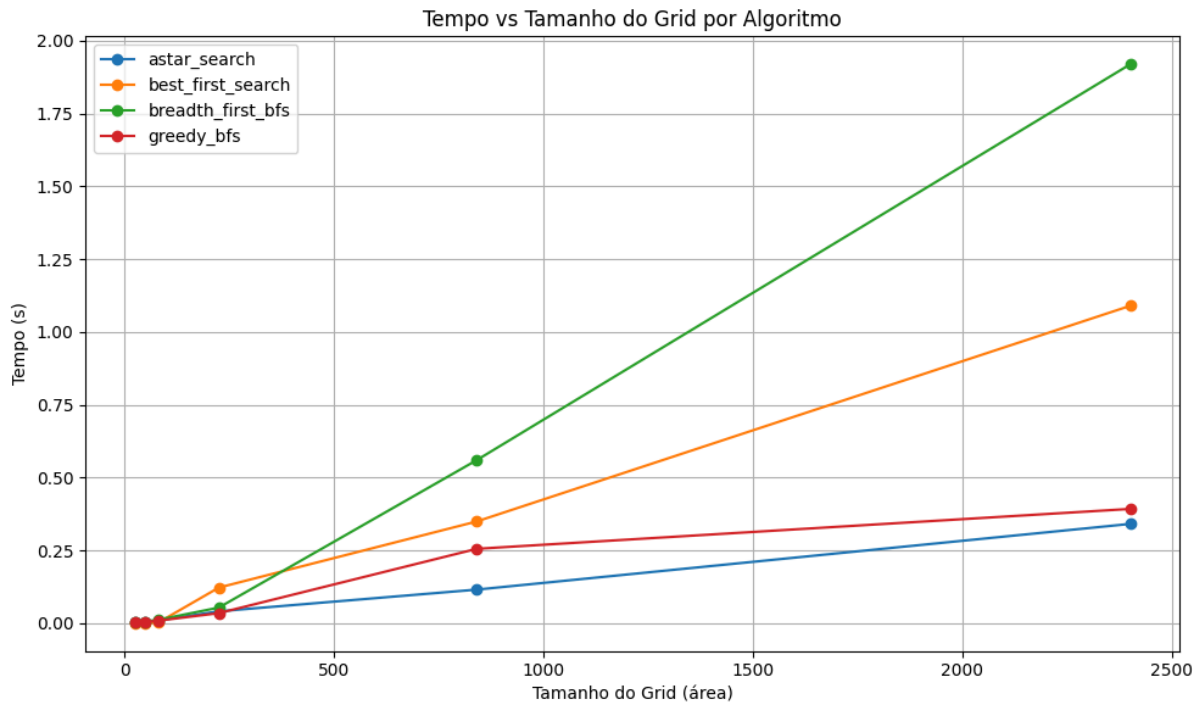


Figura 10: Tempo de execução de 4 métodos de busca em mapas 1, 2, 3, 4, 5 e 6.

Na Figura 11 observa-se que o custo do greedy_bfs aumenta porque ele prioriza a proximidade da meta sem considerar o caminho percorrido. Em mapas com obstáculos centrais como os seus, isso leva a caminhos mais longos do que o necessário, especialmente em grids maiores.

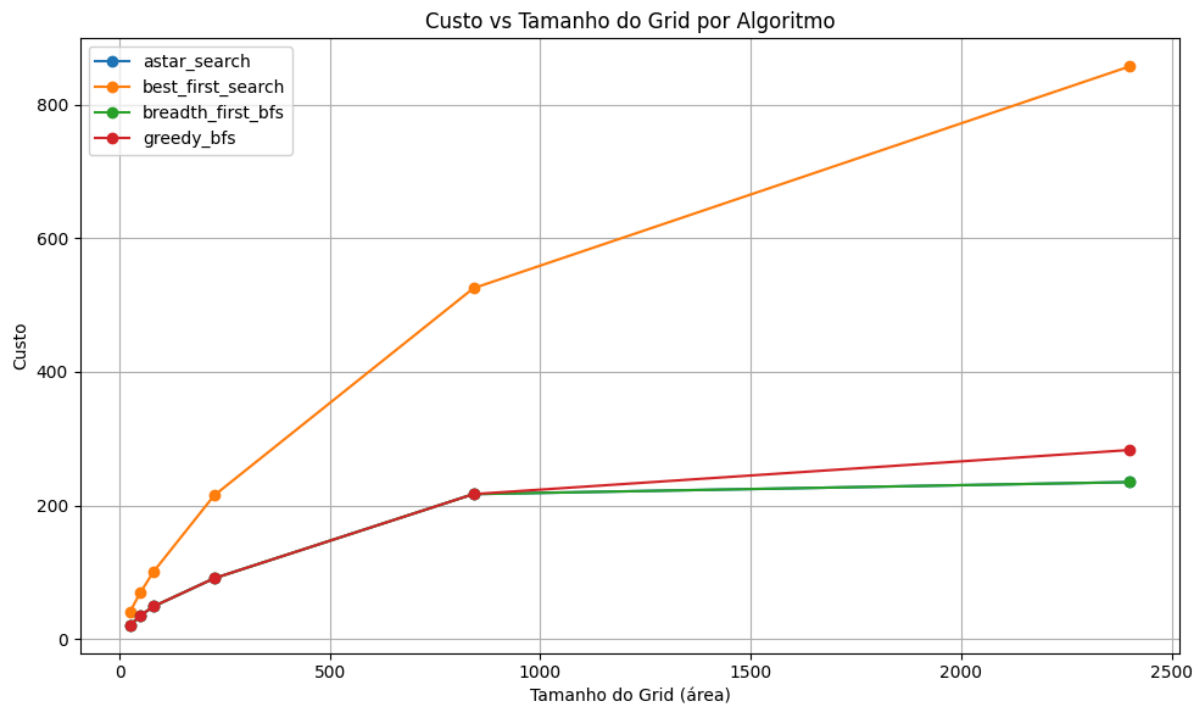


Figura 11: Custo de 4 métodos de busca nos 6 mapas.

3. Conclusão

Com base nos experimentos realizados, foi possível observar diferenças significativas entre os métodos de busca aplicados ao problema do PacMan, especialmente à medida que os cenários se tornaram maiores e mais complexos. O algoritmo A* mostra o melhor desempenho temporal geral, superando os demais algoritmos em escalabilidade e velocidade de execução. Esses resultados reforçam a vantagem dos métodos heurísticos, como A*, quando se busca eficiência em tempo em cenários de maior complexidade espacial. O `breadth_first_bfs`, apesar de garantir soluções ótimas, apresentou um crescimento de tempo mais acentuado com o aumento do grid, o que limita sua escalabilidade. O **`greedy_bfs`**, embora eficiente em cenários menores, mostrou baixa robustez em ambientes maiores. Com o aumento do grid e a complexidade causada por obstáculos diagonais, o algoritmo passou a tomar decisões menos eficazes, já que considera apenas a heurística e ignora o custo real do caminho. Isso levou a tempos de execução maiores e soluções mais custosas, evidenciando que sua estratégia gananciosa pode ser enganosa em contextos mais complexos. Já o **`best_first_search`** apresentou grande variação de desempenho e custo conforme o tamanho do grid aumentou, especialmente em função da heurística utilizada. Por considerar apenas a estimativa de distância ao objetivo, sem levar em conta o custo acumulado, o algoritmo frequentemente seguiu caminhos aparentemente promissores, mas que se mostraram ineficientes diante de obstáculos centrais. Com isso, teve crescimento acentuado no custo e no tempo de execução, revelando-se menos confiável e escalável em comparação aos demais métodos analisados. Por fim, o `iterative_deepening_search` teve bom desempenho em pequenas instâncias, mas sofreu com crescimento exponencial de tempo em grids maiores devido à repetição de estados causada por sua natureza iterativa.